

## Fe<sup>3+</sup>/Ba<sup>2+</sup>/Co<sup>2+</sup>/Zn<sup>2+</sup>/Cu<sup>2+</sup>在 NH<sub>4</sub>HCO<sub>3</sub>-NH<sub>3</sub>·H<sub>2</sub>O 和 NaOH-Na<sub>2</sub>CO<sub>3</sub> 体系中的热力学分析

蔡进红 代建清\* 陈文国 周小兵

(昆明理工大学材料与冶金工程学院, 昆明 650093)

**摘要:** 通过对 Fe<sup>3+</sup>/Ba<sup>2+</sup>/Co<sup>2+</sup>/Zn<sup>2+</sup>/Cu<sup>2+</sup> 在 NH<sub>4</sub>HCO<sub>3</sub>-NH<sub>3</sub>·H<sub>2</sub>O 和 NaOH-Na<sub>2</sub>CO<sub>3</sub> 体系中的热力学分析, 得到各金属离子总浓度 ( $c_{Me}$ ) 与 pH 值的关系, 确定了 2 种体系中 5 种离子完全共沉淀的 pH 值范围。结果表明: 在 NH<sub>4</sub>HCO<sub>3</sub>-NH<sub>3</sub>·H<sub>2</sub>O 体系中, Co<sup>2+</sup>、Zn<sup>2+</sup>、Cu<sup>2+</sup> 3 种离子和氨的配位能力很强, 其中 Cu<sup>2+</sup> 与氨的配位能力最强, 在相同的 pH 值条件下, Cu<sup>2+</sup> 沉淀困难, 5 种金属离子的完全共沉淀区域由 Cu<sup>2+</sup> 决定。在 NaOH-Na<sub>2</sub>CO<sub>3</sub> 体系中, 随总碳浓度 ( $c_C$ ) 的增加, Ba、Co、Zn、Cu 的溶解度都随之减小, 当  $c_C=1.0 \text{ mol}\cdot\text{L}^{-1}$  时, 各金属离子完全共沉淀的 pH 值范围为 7.5~11。在两种体系中, Fe 的溶解度都是随 pH 值的增大而减小, 最终达到平衡。以 NaOH-Na<sub>2</sub>CO<sub>3</sub> 为沉淀剂, 在 pH=10.0 的条件下, 采用化学共沉淀法合成出了晶粒细小、粒度均匀的 Y 型纯相结构的平面六角铁氧体微粉。

**关键词:** 平面六角铁氧体; 化学共沉淀; 溶解度; 热力学分析

中图分类号: TM277.2; O614.81; O614.121; O614.24<sup>+</sup> 文献标识码: A 文章编号: 1001-4861(2009)05-0886-07

## Thermodynamic Analysis on Solubility of Fe<sup>3+</sup>/Ba<sup>2+</sup>/Co<sup>2+</sup>/Zn<sup>2+</sup>/Cu<sup>2+</sup> in NH<sub>4</sub>HCO<sub>3</sub>-NH<sub>3</sub>·H<sub>2</sub>O and NaOH-Na<sub>2</sub>CO<sub>3</sub> System

CAI Jin-Hong DAI Jian-Qing\* CHEN Wen-Guo ZHOU Xiao-Bing

(Faculty of Materials and Metallurgical Engineering, Kunming University of Science and Technology, Kunming 650093)

**Abstract:** The pH-dependence of  $c_{Me}$  in NH<sub>4</sub>HCO<sub>3</sub>-NH<sub>3</sub>·H<sub>2</sub>O and NaOH-Na<sub>2</sub>CO<sub>3</sub> system were respectively presented by thermodynamic analysis, and the co-precipitation window of Ba<sup>2+</sup>/Fe<sup>3+</sup>/Co<sup>2+</sup>/Zn<sup>2+</sup>/Cu<sup>2+</sup> was obtained at a suitable pH. The results show that Co<sup>2+</sup>, Zn<sup>2+</sup> and Cu<sup>2+</sup> ions have strong complexity with NH<sub>3</sub> in the NH<sub>4</sub>HCO<sub>3</sub>-NH<sub>3</sub>·H<sub>2</sub>O system. Especially the copper ion is strongest. In the same pH, the copper ion is difficult to completely precipitate. So the co-precipitation window of the five kinds of metal ions is controlled by the pH for completely precipitation of Cu<sup>2+</sup> in the system containing NH<sub>3</sub>. In the NaOH-Na<sub>2</sub>CO<sub>3</sub> system without ammonia, the solubilities of Ba, Co, Zn and Cu are reduced with the increase of carbon concentration  $c_C$ . The pH window of the five kinds of metal ions are just determined by the  $c_C$ . When the  $c_C$  is 1.0 mol·L<sup>-1</sup>, they can be completely co-precipitated at pH of 7.5~11. The solubility of the iron ion is reduced with the pH increase of solution in the two systems, and reached equilibration finally. The Y-type hexaferrite powders with uniform and fine size are obtained at pH value 10.0 in the NaOH-Na<sub>2</sub>CO<sub>3</sub> system.

**Key words:** planar hexagonal ferrite; chemical co-precipitation; solubility; thermodynamic analysis

新一代电子器件表面安装技术(SMT)的核心是表面安装元器件(SMD)的生产。作为三大无源电子元器件之一的片式电感器, 因其结构复杂, 工艺难

度较大, 发展进程相对滞后于片式电容和片式电阻。目前, 片式电感和片式软磁元件的发展方向是多层独石化, 而片式软磁元件的技术关键是铁氧体

收稿日期: 2008-10-28。收修改稿日期: 2009-03-18。

云南省中青年学术技术带头人后备人才培养项目(No.2006PY01-09)。

\*通讯联系人。E-mail:djq@tsinghua.org.cn

第一作者: 蔡进红, 男, 25岁, 硕士研究生; 研究方向: 磁性功能材料。

粉体的制备,它要求粉料烧结温度低于900℃。平面六角铁氧体由于结构上的各向异性,使其在甚高频段的性能良好,是一种理想的叠层片式电感(MLCI)用铁氧体材料,已经受到广泛地关注<sup>[1~3]</sup>。

为了得到磁导率和截止频率兼具的铁氧体材料,国内外学者进行了大量研究。研究发现,在控制磁导率方面,通过Zn<sup>2+</sup>掺杂取代强磁性Co<sup>2+</sup>是比较有效的。Zn<sup>2+</sup>掺杂,引起铁氧体材料各向异性场及饱和磁通密度的变化,从而改善了铁氧体材料的性能,磁导率达到9.7<sup>[4~6]</sup>。目前,主要采用传统的陶瓷生产工艺合成这类离子取代平面六角铁氧体。然而,六角铁氧体的烧结温度高达1150℃以上,促进Ag的扩散而产生不利影响,且由于温度较高,导致所合成的铁氧体大多为微米级,有密度较高、粒径不均匀和粒度分布较宽等不足,一般需要球磨等二次处理,成为其制作叠层片式电感器的障碍<sup>[7~13]</sup>。以化学共沉淀法为代表的软化学法,是一种成本低廉,方法简单,易于控制的无机体系法,制得的前驱体成分更均匀,活性更好,更有利于制作高性能的铁氧体材料。共沉淀完全程度直接影响到配方的准确度,从而影响到六角铁氧体的性能。通过热力学分析,精确控制共沉淀条件,可确保铁氧体组分元素的准确性,对试验具有一定的指导意义。目前,相关报道较多的是尖晶石铁氧体及功能材料制备的

热力学分析<sup>[14~16]</sup>。作者在文献<sup>[18]</sup>中对共沉淀法制备Zn掺杂平面六角铁氧体前驱体的热力学分析得到,在Me<sup>n+</sup>(Ba<sup>2+</sup>,Fe<sup>3+</sup>,Co<sup>2+</sup>,Zn<sup>2+</sup>)-Na<sub>2</sub>CO<sub>3</sub>-NH<sub>3</sub>·H<sub>2</sub>O体系中,当c<sub>C</sub>>1 mol·L<sup>-1</sup>,c<sub>N</sub><0.1 mol·L<sup>-1</sup>时,4种金属离子在pH值为8~12时各金属离子可实现完全共沉淀。另外,我们借鉴了固相法中六角铁氧体随Cu的含量增加而烧结温度降低的特点,采用Cu<sup>2+</sup>置换Co<sup>2+</sup>,有望实现六角铁氧体的无助熔剂的低温烧结。

本文进一步对Me<sup>n+</sup>(Ba<sup>2+</sup>,Fe<sup>3+</sup>,Co<sup>2+</sup>,Zn<sup>2+</sup>,Cu<sup>2+</sup>)在NH<sub>4</sub>HCO<sub>3</sub>-NH<sub>3</sub>·H<sub>2</sub>O系和NaOH-Na<sub>2</sub>CO<sub>3</sub>系中进行热力学分析,并在热力学计算结果的指导下,采用化学共沉淀法制备出了颗粒细小、粒度分布均匀的Y型纯相结构的平面六角铁氧体粉料。

## 1 热力学数据及平衡方程

当以NH<sub>4</sub>HCO<sub>3</sub>-NH<sub>3</sub>·H<sub>2</sub>O为沉淀剂共沉淀法制备六角铁氧体前驱体时,反应体系可确定为Me<sup>n+</sup>(Ba<sup>2+</sup>,Fe<sup>3+</sup>,Co<sup>2+</sup>,Zn<sup>2+</sup>,Cu<sup>2+</sup>)-CO<sub>3</sub><sup>2-</sup>-NH<sub>3</sub>·H<sub>2</sub>O体系。该体系中,金属离子以碳酸盐、氢氧化物沉淀的形式析出。分别以c<sub>Ba</sub>,c<sub>Fe</sub>,c<sub>Co</sub>,c<sub>Zn</sub>,c<sub>Cu</sub>,c<sub>C</sub>,c<sub>N</sub>表示溶液中游离的各种形式的钡、铁、钴、锌、铜离子总浓度及溶液中碳与氮的总浓度,该体系可能发生的化学反应及相应平衡常数<sup>[17,18]</sup>如表1所示。溶液中与金属离子配位的氨浓度(c<sub>NH<sub>3</sub></sub>)远小于总氮浓度(c<sub>N</sub>),因此在c<sub>N</sub>

表1 平衡方程式及平衡常数

Table 1 Equilibrium equations and equilibrium constants (25℃)

No.	Equation	lgK	Rf.	No.	Equation	lgK	Rf.
1	H <sub>2</sub> O ⇌ H <sup>+</sup> + OH <sup>-</sup>	-14.00	[17]	18	Zn <sup>2+</sup> + 2OH <sup>-</sup> ⇌ Zn(OH) <sub>2</sub> (s)	16.24	[18]
2	HCO <sub>3</sub> <sup>-</sup> ⇌ H <sup>+</sup> + CO <sub>3</sub> <sup>2-</sup>	-10.33	[18]	19	Co(OH) <sup>+</sup> ⇌ Co <sup>2+</sup> + OH <sup>-</sup>	-3.30	[18]
3	H <sub>2</sub> CO <sub>3</sub> ⇌ H <sup>+</sup> + HCO <sub>3</sub> <sup>-</sup>	-6.35	[18]	20	Co(OH) <sub>2</sub> ⇌ Co <sup>2+</sup> + 2OH <sup>-</sup>	-9.20	[18]
4	NH <sub>4</sub> <sup>+</sup> ⇌ NH <sub>3</sub> + H <sup>+</sup>	-9.24	[18]	21	Co(OH) <sub>3</sub> <sup>-</sup> ⇌ Co <sup>2+</sup> + 3OH <sup>-</sup>	-10.50	[18]
5	Ba <sup>2+</sup> + CO <sub>3</sub> <sup>2-</sup> ⇌ BaCO <sub>3</sub> (s)	8.29	[18]	22	Co(OH) <sub>4</sub> <sup>2-</sup> ⇌ Co <sup>2+</sup> + 4OH <sup>-</sup>	-10.20	[18]
6	Cu <sup>2+</sup> + CO <sub>3</sub> <sup>2-</sup> ⇌ CuCO <sub>3</sub> (s)	9.86	[18]	23	Co <sub>2</sub> (OH) <sup>3+</sup> ⇌ 2Co <sup>2+</sup> + OH <sup>-</sup>	-2.70	[18]
7	Co <sup>2+</sup> + CO <sub>3</sub> <sup>2-</sup> ⇌ CoCO <sub>3</sub> (s)	12.84	[18]	24	Co <sub>4</sub> (OH) <sub>4</sub> <sup>4+</sup> ⇌ 4Co <sup>2+</sup> + 4OH <sup>-</sup>	-25.60	[18]
8	Zn <sup>2+</sup> + CO <sub>3</sub> <sup>2-</sup> ⇌ ZnCO <sub>3</sub> (s)	10.85	[18]	25	Co <sup>2+</sup> + 2OH <sup>-</sup> ⇌ Co(OH) <sub>2</sub> (s)	14.80	[18]
9	Fe <sup>3+</sup> + 3OH <sup>-</sup> ⇌ Fe(OH) <sub>3</sub> (s)	37.40	[18]	26	Zn(NH <sub>3</sub> ) <sup>2+</sup> ⇌ Zn <sup>2+</sup> + NH <sub>3</sub>	-2.21	[18]
10	Fe(OH) <sup>2+</sup> ⇌ Fe <sup>3+</sup> + OH <sup>-</sup>	-11.87	[18]	27	Zn(NH <sub>3</sub> ) <sub>2</sub> <sup>2+</sup> ⇌ Zn <sup>2+</sup> + 2NH <sub>3</sub>	-4.50	[18]
11	Fe(OH) <sub>2</sub> <sup>+</sup> ⇌ Fe <sup>3+</sup> + 2OH <sup>-</sup>	-21.17	[18]	28	Zn(NH <sub>3</sub> ) <sub>3</sub> <sup>2+</sup> ⇌ Zn <sup>2+</sup> + 3NH <sub>3</sub>	-6.86	[18]
12	Fe(OH) <sub>3</sub> ⇌ Fe <sup>3+</sup> + 3OH <sup>-</sup>	-29.67	[18]	29	Zn(NH <sub>3</sub> ) <sub>4</sub> <sup>2+</sup> ⇌ Zn <sup>2+</sup> + 4NH <sub>3</sub>	-8.89	[18]
13	Zn(OH) <sup>+</sup> ⇌ Zn <sup>2+</sup> + OH <sup>-</sup>	-5.00	[18]	30	Co(NH <sub>3</sub> ) <sup>2+</sup> ⇌ Co <sup>2+</sup> + NH <sub>3</sub>	-2.11	[18]
14	Zn(OH) <sub>2</sub> ⇌ Zn <sup>2+</sup> + 2OH <sup>-</sup>	-11.10	[18]	31	Co(NH <sub>3</sub> ) <sub>2</sub> <sup>2+</sup> ⇌ Co <sup>2+</sup> + 2NH <sub>3</sub>	-3.74	[18]
15	Zn(OH) <sub>3</sub> <sup>-</sup> ⇌ Zn <sup>2+</sup> + 3OH <sup>-</sup>	-13.60	[18]	32	Co(NH <sub>3</sub> ) <sub>3</sub> <sup>2+</sup> ⇌ Co <sup>2+</sup> + 3NH <sub>3</sub>	-4.79	[18]
16	Zn(OH) <sub>4</sub> <sup>2-</sup> ⇌ Zn <sup>2+</sup> + 4OH <sup>-</sup>	-14.80	[18]	33	Co(NH <sub>3</sub> ) <sub>4</sub> <sup>2+</sup> ⇌ Co <sup>2+</sup> + 4NH <sub>3</sub>	-5.55	[18]
17	Zn <sub>2</sub> (OH) <sup>3+</sup> ⇌ 2Zn <sup>2+</sup> + OH <sup>-</sup>	-5.00	[18]	34	Co(NH <sub>3</sub> ) <sub>5</sub> <sup>2+</sup> ⇌ Co <sup>2+</sup> + 5NH <sub>3</sub>	-5.73	[18]

续表 1

35	$\text{Co}(\text{NH}_3)_6^{2+} \rightleftharpoons \text{Co}^{2+} + 6\text{NH}_3$	-5.11	[18]	41	$\text{Cu}(\text{NH}_3)_2^{2+} \rightleftharpoons \text{Cu}^{2+} + 2\text{NH}_3$	-7.98	[17]
36	$\text{Cu}(\text{OH})^+ \rightleftharpoons \text{Cu}^{2+} + \text{OH}^-$	-7.00	[17]	42	$\text{Cu}(\text{NH}_3)_3^{2+} \rightleftharpoons \text{Cu}^{2+} + 3\text{NH}_3$	-11.02	[17]
37	$\text{Cu}(\text{OH})_2 \rightleftharpoons \text{Cu}^{2+} + 2\text{OH}^-$	-13.68	[17]	43	$\text{Cu}(\text{NH}_3)_4^{2+} \rightleftharpoons \text{Cu}^{2+} + 4\text{NH}_3$	-13.32	[17]
38	$\text{Cu}(\text{OH})_3^- \rightleftharpoons \text{Cu}^{2+} + 3\text{OH}^-$	-17.00	[17]	44	$\text{Cu}(\text{NH}_3)_5^{2+} \rightleftharpoons \text{Cu}^{2+} + 5\text{NH}_3$	-12.86	[17]
39	$\text{Cu}(\text{OH})_4^{2-} \rightleftharpoons \text{Cu}^{2+} + 4\text{OH}^-$	-18.50	[17]	45	$\text{Cu}(\text{OH})_2 (\text{s}) \rightleftharpoons \text{Cu}^{2+} + 2\text{OH}^-$	-13.68	[17]
40	$\text{Cu}(\text{NH}_3)^{2+} \rightleftharpoons \text{Cu}^{2+} + \text{NH}_3$	-4.31	[17]				

的计算过程中可以忽略不计。根据化学反应平衡及质量守恒, 可得体系中各种离子浓度与 pH 值的关系, 如下:

$$c_N = c_{\text{NH}_3} + c_{\text{NH}_4^+} = c_{\text{NH}_3} (1 + 10^{9.24-\text{pH}}) \quad (1)$$

$$\begin{aligned} c_C &= c_{\text{CO}_3^{2-}} + c_{\text{HCO}_3^-} + c_{\text{H}_2\text{CO}_3} \\ &= c_{\text{CO}_3^{2-}} (1 + 10^{10.33-\text{pH}} + 10^{16.68-2\text{pH}}) \end{aligned} \quad (2)$$

$$c_{\text{Ba}} = \frac{10^{-8.29}}{c_{\text{CO}_3^{2-}}} \quad (3)$$

$$\begin{aligned} c_{\text{Fe}} &= c_{\text{Fe}^{3+}} + c_{\text{Fe}(\text{OH})^{2+}} + c_{\text{Fe}(\text{OH})_2^+} + c_{\text{Fe}(\text{OH})_3^-} \\ &= c_{\text{Fe}^{3+}} (1 + 10^{(\text{pH}-2.13)} + 10^{2\text{pH}-6.83} + 10^{3\text{pH}-12.33}) \end{aligned} \quad (4)$$

$$\begin{aligned} c_{\text{Co}} &= c_{\text{Co}^{2+}} + c_{\text{Co}(\text{OH})^+} + c_{\text{Co}(\text{OH})_2} + c_{\text{Co}(\text{OH})_3^-} + c_{\text{Co}(\text{OH})_4^{2-}} + 2c_{\text{Co}_2(\text{OH})^{3+}} + \\ &\quad 4c_{\text{Co}_3(\text{OH})_4^{4+}} + c_{\text{Co}(\text{NH}_3)_2^{2+}} + c_{\text{Co}(\text{NH}_3)_3^{2+}} + c_{\text{Co}(\text{NH}_3)_4^{2+}} + c_{\text{Co}(\text{NH}_3)_5^{2+}} \\ &= c_{\text{Co}^{2+}} (1 + 10^{(\text{pH}-9.7)} + 10^{2\text{pH}-19.6} + 10^{3\text{pH}-32.3} + 10^{4\text{pH}-45.8} + \\ &\quad 2c_{\text{Co}^{2+}} 10^{(\text{pH}-11.3)} + 4c_{\text{Co}^{2+}} 10^{3\text{pH}-30.4} + 10^{2.11} c_{\text{NH}_3^+} + \\ &\quad 10^{3.74} c_{\text{NH}_3^+} + 10^{4.79} c_{\text{NH}_3^+} + 10^{5.55} c_{\text{NH}_3^+} + 10^{5.73} c_{\text{NH}_3^+} + \\ &\quad 10^{5.11} c_{\text{NH}_3^+}) \end{aligned} \quad (5)$$

$$\begin{aligned} c_{\text{Zn}} &= c_{\text{Zn}^{2+}} + c_{\text{Zn}(\text{OH})^+} + c_{\text{Zn}(\text{OH})_2} + c_{\text{Zn}(\text{OH})_3^-} + 2c_{\text{Zn}_2(\text{OH})^{3+}} + \\ &\quad c_{\text{Zn}(\text{NH}_3)_2^{2+}} + c_{\text{Zn}(\text{NH}_3)_3^{2+}} + c_{\text{Zn}(\text{NH}_3)_4^{2+}} + c_{\text{Zn}(\text{NH}_3)_5^{2+}} \\ &= c_{\text{Zn}^{2+}} (1 + 10^{(\text{pH}-9)} + 10^{2\text{pH}-16.9} + 10^{3\text{pH}-28.4} + 10^{4\text{pH}-41.2} + \\ &\quad 2c_{\text{Zn}^{2+}} 10^{(\text{pH}-9)} + 10^{2.21} c_{\text{NH}_3^+} + 10^{4.50} c_{\text{NH}_3^+} + 10^{6.86} c_{\text{NH}_3^+} + \\ &\quad 10^{8.89} c_{\text{NH}_3^+}) \end{aligned} \quad (6)$$

$$\begin{aligned} c_{\text{Cu}} &= c_{\text{Cu}^{2+}} + c_{\text{Cu}(\text{OH})^+} + c_{\text{Cu}(\text{OH})_2} + c_{\text{Cu}(\text{OH})_3^-} + c_{\text{Cu}(\text{OH})_4^{2-}} + c_{\text{Cu}(\text{NH}_3)_2^{2+}} + \\ &\quad c_{\text{Cu}(\text{NH}_3)_3^{2+}} + c_{\text{Cu}(\text{NH}_3)_4^{2+}} + c_{\text{Cu}(\text{NH}_3)_5^{2+}} \\ &= c_{\text{Cu}^{2+}} (1 + 10^{(\text{pH}-7.00)} + 10^{2\text{pH}-14.32} + 10^{3\text{pH}-25.00} + \\ &\quad 10^{4\text{pH}-37.50} + 10^{4.31} c_{\text{NH}_3^+} + 10^{7.98} c_{\text{NH}_3^+} + 10^{11.02} c_{\text{NH}_3^+} + \\ &\quad 10^{13.32} c_{\text{NH}_3^+} + 10^{12.86} c_{\text{NH}_3^+}) \end{aligned} \quad (7)$$

其中:  $c_{\text{Fe}^{3+}} = 10^{4.60-3\text{pH}}$

$$c_{\text{Zn}^{2+}} = \min\left(\frac{10^{-10.85}}{c_{\text{CO}_3^{2-}}}, 10^{11.76-2\text{pH}}\right)$$

$$c_{\text{Co}^{2+}} = \min\left(\frac{10^{-12.84}}{c_{\text{CO}_3^{2-}}}, 10^{13.2-2\text{pH}}\right)$$

$$c_{\text{Cu}^{2+}} = \min\left(\frac{10^{-9.86}}{c_{\text{CO}_3^{2-}}}, 10^{8.34-2\text{pH}}\right)$$

由于体系中  $c_C$  即为碳的总物质的量浓度,  $c_N$  为氮的总物质的量浓度, 当溶液中碳酸氢铵和氨水加入量一定时, 即可由方程式(1)~(7), 利用 Excel 软件的函数计算功能, 自编公式求得不同 pH 下的  $c_{\text{Me}}$  值, 绘制出该体系中的  $\lg c_{\text{Me}} - \text{pH}$  关系, 从而可确定各金属离子的共沉淀区域。

当以  $\text{NaOH}-\text{Na}_2\text{CO}_3$  作沉淀剂时, 可确定为  $\text{Me}^{n+}-\text{CO}_3^{2-}-\text{H}_2\text{O}$  体系, 同理, 由表 1 相关热力学数据可得到溶液中各金属离子相应的平衡方程式, 其中钡和铁离子仍然如上(3)和(4)式, 其余金属离子的平衡方程如下:

$$\begin{aligned} c_{\text{Co}} &= c_{\text{Co}^{2+}} + c_{\text{Co}(\text{OH})^+} + c_{\text{Co}(\text{OH})_2} + c_{\text{Co}(\text{OH})_3^-} + c_{\text{Co}(\text{OH})_4^{2-}} + 2c_{\text{Co}_2(\text{OH})^{3+}} + \\ &\quad 4c_{\text{Co}_3(\text{OH})_4^{4+}} \\ &= c_{\text{Co}^{2+}} (1 + 10^{(\text{pH}-9.7)} + 10^{2\text{pH}-19.6} + 10^{3\text{pH}-32.3} + 10^{4\text{pH}-45.8} + \\ &\quad 2c_{\text{Co}^{2+}} 10^{(\text{pH}-11.3)} + 4c_{\text{Co}^{2+}} 10^{4\text{pH}-30.4}) \end{aligned} \quad (8)$$

$$\begin{aligned} c_{\text{Zn}} &= c_{\text{Zn}^{2+}} + c_{\text{Zn}(\text{OH})^+} + c_{\text{Zn}(\text{OH})_2} + c_{\text{Zn}(\text{OH})_3^-} + 2c_{\text{Zn}_2(\text{OH})^{3+}} \\ &= c_{\text{Zn}^{2+}} (1 + 10^{(\text{pH}-9)} + 10^{2\text{pH}-16.9} + 10^{3\text{pH}-28.4} + 10^{4\text{pH}-41.2} + \\ &\quad 2c_{\text{Zn}^{2+}} 10^{(\text{pH}-9)}) \end{aligned} \quad (9)$$

$$\begin{aligned} c_{\text{Cu}} &= c_{\text{Cu}^{2+}} + c_{\text{Cu}(\text{OH})^+} + c_{\text{Cu}(\text{OH})_2} + c_{\text{Cu}(\text{OH})_3^-} + c_{\text{Cu}(\text{OH})_4^{2-}} \\ &= c_{\text{Cu}^{2+}} (1 + 10^{(\text{pH}-7.00)} + 10^{2\text{pH}-14.32} + 10^{3\text{pH}-25.00} + \\ &\quad 10^{4\text{pH}-37.50}) \end{aligned} \quad (10)$$

## 2 结果与讨论

### 2.1 $\text{NH}_4\text{HCO}_3-\text{NH}_3 \cdot \text{H}_2\text{O}$ 体系中金属离子的共沉淀区域

按物质的量比为  $c_{\text{NH}_4\text{HCO}_3}:c_{\text{NH}_3 \cdot \text{H}_2\text{O}} = 5:1$ 、氨水过量 20% 计算, 1 000 mL 沉淀剂溶液中碳和氮的总浓度分别为  $c_C = 1.0 \text{ mol} \cdot \text{L}^{-1}$  和  $c_N = 1.44 \text{ mol} \cdot \text{L}^{-1}$ 。假设共沉淀液中 pH 值变化步长 ( $\Delta \text{pH}$ ) 为 0.5, 根据前面所列

方程, 经过求解, 可分别得到  $0 \leq \text{pH} \leq 14$  范围内各金属离子在不同 pH 值下的溶解度, 绘制出  $\lg c_{\text{Me}}-\text{pH}$  曲线, 从而找出各离子沉淀完全的 pH 值范围。结果如图 1 所示。

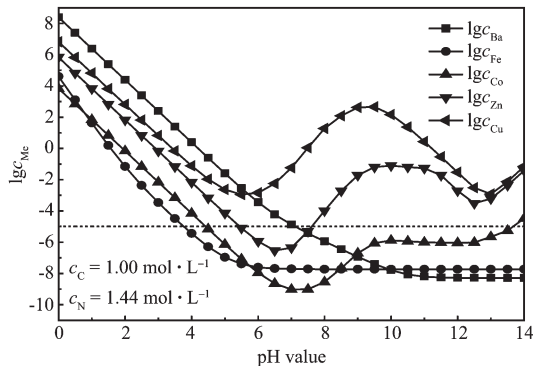


图 1  $\text{Me}^{n+}\text{-NH}_4\text{HCO}_3\text{-NH}_3\text{-H}_2\text{O}$  体系中  $\lg c_{\text{Me}}-\text{pH}$  关系  
Fig.1 Relation curves between total concentrations of metal ions and pH at  $\text{Me}^{n+}\text{-NH}_4\text{HCO}_3\text{-NH}_3\text{-H}_2\text{O}$  system

从图 1 可以看出, 溶液中  $c_{\text{C}}=1.0 \text{ mol} \cdot \text{L}^{-1}$  和  $c_{\text{N}}=1.44 \text{ mol} \cdot \text{L}^{-1}$  时, 对于  $\text{Ba}^{2+}$  和  $\text{Fe}^{3+}$  而言, 它们的溶解度曲线随 pH 值变化的趋势几乎是一致的。当 pH 值升高时, 溶液中  $c_{\text{Ba}}$  和  $c_{\text{Fe}}$  均降低,  $\text{Ba}^{2+}$  和  $\text{Fe}^{3+}$  分别以  $\text{BaCO}_3$  和  $\text{Fe(OH)}_3$  沉淀的形式存在, 最终达到平衡, 此时溶液中  $c_{\text{Ba}}$  和  $c_{\text{Fe}}$  几乎没有变化。这是由于  $c_{\text{Ba}}$  和  $c_{\text{Fe}}$  与  $c_{\text{C}}$  和 pH 值有关, 在沉淀反应的过程中,  $c_{\text{N}}$  对  $\text{BaCO}_3$  和  $\text{Fe(OH)}_3$  的溶解度影响甚微。而  $\text{Co}^{2+}$ 、 $\text{Zn}^{2+}$  和  $\text{Cu}^{2+}$  不仅与  $c_{\text{C}}$  有关, 且与  $\text{NH}_3$  存在着较强的配位作用而形成氨配位离子(见表 1)。当 pH 值较低时, 溶液中  $\text{NH}_3$  浓度很低, 3 种离子主要以游离的  $\text{Co}^{2+}$ 、 $\text{Zn}^{2+}$  和  $\text{Cu}^{2+}$  形式存在。随着 pH 值升高, 溶液中  $\text{CO}_3^{2-}$  浓度增大, 3 种离子主要以碳酸盐沉淀物的形式而析出, 使  $c_{\text{Co}}$ 、 $c_{\text{Zn}}$  和  $c_{\text{Cu}}$  均降低, 达到最小值后, 溶液中  $\text{NH}_3$  浓度随 pH 值升高而增加较快, 3 种离子与  $\text{NH}_3$  发生强烈的配位作用形成氨配位离子, 导致  $c_{\text{Co}}$ 、 $c_{\text{Zn}}$  和  $c_{\text{Cu}}$  增大。在热力学计算的过程中, 发现 pH 值继续升高时,  $\text{OH}^-$  浓度增大, 溶液中 3 种离子的羟基配离子浓度增大, 导致  $c_{\text{Co}}$ 、 $c_{\text{Zn}}$  和  $c_{\text{Cu}}$  增大。若以溶液中离子总浓度( $c_{\text{Me}}$ )小于  $10^{-5} \text{ mol} \cdot \text{L}^{-1}$  作为离子沉淀完全的判断标准, 从图中可以看出, 在 pH 值为 6~9 范围内,  $c_{\text{Ba}}\text{、}c_{\text{Fe}}\text{、}c_{\text{Co}}$  和  $c_{\text{Zn}}$  均小于此值。对于  $\text{Cu}^{2+}$  来说, 当溶液中  $c_{\text{C}}=1.0 \text{ mol} \cdot \text{L}^{-1}$  和  $c_{\text{N}}=1.44 \text{ mol} \cdot \text{L}^{-1}$  时, 在 pH 为 0~14 范围内,  $c_{\text{Cu}}$  高于  $10^{-5} \text{ mol} \cdot \text{L}^{-1}$ , 表明  $\text{Cu}^{2+}$  沉淀不完全。可见, 在  $\text{Me}^{n+}\text{-NH}_4\text{HCO}_3\text{-NH}_3\text{-H}_2\text{O}$  体系中, 这 5 种离子完全共沉淀的 pH 值范围

取决于  $\text{Cu}^{2+}$  沉淀完全的程度, 这主要是由于溶液中  $\text{NH}_3$  的存在,  $\text{Cu}^{2+}$  与  $\text{NH}_3$  发生强烈的配位作用, 溶液中  $c_{\text{Cu}}$  增大, 导致  $\text{Cu}^{2+}$  沉淀析出困难, 从而使 5 种离子在相同的 pH 值范围内不能共沉淀完全。

从热力学数据可以看出, 溶液中各金属离子完全共沉淀的 pH 值取决于  $c_{\text{C}}$  和  $c_{\text{N}}$ , 且不同的  $c_{\text{C}}$  和  $c_{\text{N}}$  对各金属离子的影响不同,  $\text{Ba}^{2+}$  仅与  $c_{\text{C}}$  有关, 与  $c_{\text{N}}$  无关; 而  $\text{Co}^{2+}$ 、 $\text{Cu}^{2+}$  和  $\text{Zn}^{2+}$  则与  $c_{\text{C}}$  和  $c_{\text{N}}$  均有关。如图 2 所示, 当  $c_{\text{C}}=0.5 \text{ mol} \cdot \text{L}^{-1}$  时, 不同  $c_{\text{N}}$  条件下的  $\lg c_{\text{Me}}-\text{pH}$  关系。由图 2(a)可知,  $c_{\text{Cu}}$  随  $c_{\text{N}}$  变化的趋势是一致的, 在 pH 值为 4.5~13 范围内, 不同的  $c_{\text{N}}$  条件下, 总是随 pH 值升高先是减小, 达到最小值后增大, 在 pH=9.0 时达到最大值, 随后又有所降低。溶液中存

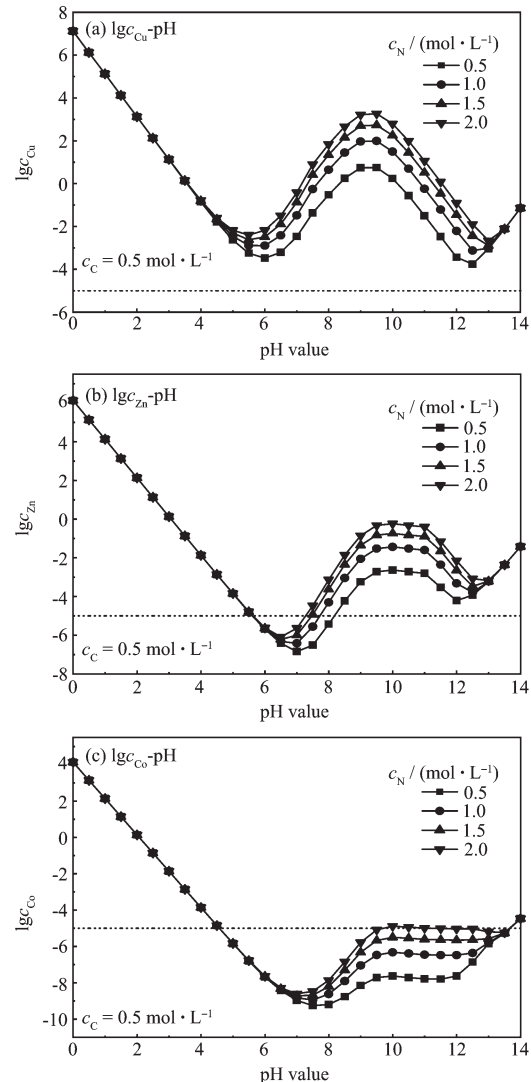


图 2  $c_{\text{N}}$  对金属离子共沉淀区域的影响  
Fig.2 Relation curves between total concentrations of metal ions and pH at different total ammonia concentrations

在  $\text{NH}_3$  的情况下,  $\text{Cu}^{2+}$  沉淀完全 pH 值范围受到  $c_N$  的影响明显。在 pH 为 0~14 范围内, 溶液中  $\text{Cu}^{2+}$  浓度总是高于  $10^{-5} \text{ mol} \cdot \text{L}^{-1}$ , 且随着  $c_N$  升高而显著增大。图 2(b)表明,  $\text{Zn}^{2+}$  随  $c_N$  的影响也比较明显, 仅仅在较小的 pH 值范围内可以共沉淀完全。随着  $c_N$  升高, 其完全共沉淀的范围将变小。 $\text{Co}^{2+}$  受  $c_N$  的影响较小, 其完全共沉淀范围较大, 见图 2(c)。在 pH 值

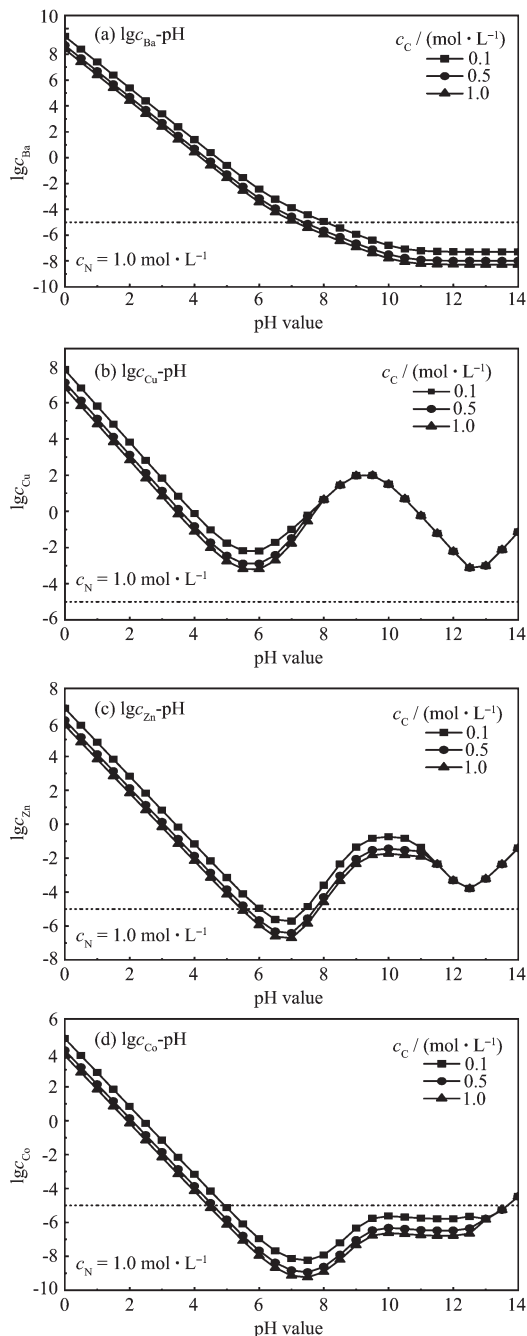


图 3  $c_c$  对金属离子共沉淀区域的影响

Fig.3 Relation curves between total concentrations of metal ions and pH at different total carbon concentrations

较高时, 随着  $c_N$  升高而增大。

当溶液中  $c_N=1.0 \text{ mol} \cdot \text{L}^{-1}$  时, 在 pH 为 0~14 范围内, 不同的  $c_c$  条件下, 各金属离子沉淀物的溶解度曲线变化趋势一致(见图 3), 总是随着  $c_c$  升高而降低, 但不同的金属离子影响不同。比较明显的是,  $\text{Cu}^{2+}$  和  $\text{Zn}^{2+}$  受  $c_c$  的变化而影响较大, 尤以  $\text{Cu}^{2+}$  最为显著。分析其原因, 在于溶液中氨浓度较大, 从而导致  $\text{Cu}^{2+}$  主要以氨配位离子的形式而析出, 使其沉淀不完全。

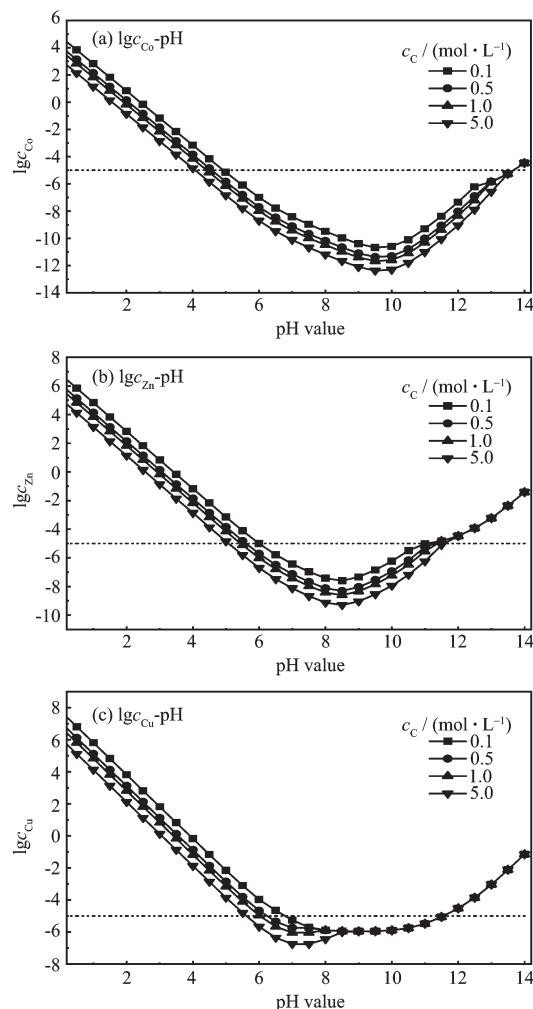


图 4  $c_c$  对钴、锌、铜离子共沉淀区域的影响

Fig.4 Relation curves between total concentrations of copper ions and pH at different total carbon concentrations

## 2.2 NaOH-Na<sub>2</sub>CO<sub>3</sub> 体系中金属离子的共沉淀区域

以上分析可知, 在  $\text{NH}_4\text{HCO}_3-\text{NH}_3 \cdot \text{H}_2\text{O}$  体系中, 由于  $\text{NH}_3$  的存在,  $\text{Cu}^{2+}$  与其发生强烈地配位作用, 使得  $\text{Cu}^{2+}$  沉淀完全困难, 导致 5 种离子不能实现共沉淀完全, 不利于铁氧体组分的精确控制。比较而言,

在  $\text{NaOH}-\text{Na}_2\text{CO}_3$  体系中, 没有  $\text{NH}_3$  的存在,  $\text{Cu}^{2+}$  仅仅受到  $c_c$  的影响, 如图 5 所示。从图 4 可以看出, 在不同的  $c_c$  条件下,  $c_{\text{Cu}}$  随 pH 值变化的趋势一致, 总是先减小后增大, 当  $\text{pH} > 9$  时, 图中的溶解度曲线都重合在一起。在相同的 pH 值下,  $c_c$  越高,  $c_{\text{Cu}}$  就越低, 沉淀越完全所对应的最小 pH 值不同, 但完全沉淀的最大 pH 值都是 11.5。 $c_c > 1.0 \text{ mol} \cdot \text{L}^{-1}$  时,  $\text{Cu}^{2+}$  沉淀完全的 pH 在 6~11.5 之间, 沉淀区域较大, 且能同时保证其他 4 种离子共沉淀完全。因而, 我们选择溶液中  $c_c = 1.0 \text{ mol} \cdot \text{L}^{-1}$ , 其各种金属离子总浓度与 pH 值的关系如图 5 所示, 在此条件下, 5 种金属离子共沉淀完全的 pH 值在 7.5~11 之间。可见, 即可保证 5 种离子沉淀完全。

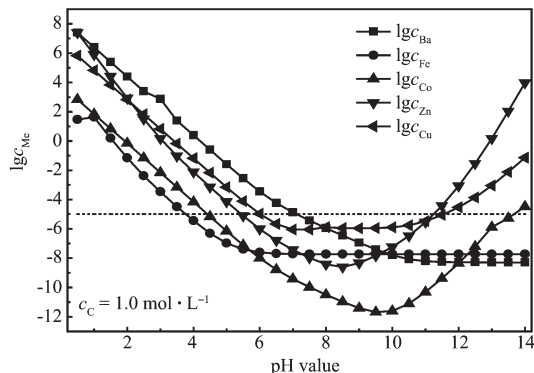


图 5  $\text{NaOH}-\text{Na}_2\text{CO}_3$  体系中各金属离子浓度与 pH 值关系  
Fig.5 Relation curves between total concentrations of metal ions and pH at  $\text{Me}^{n+}-\text{NaOH}-\text{Na}_2\text{CO}_3$  system

### 3 实验结果

根据热力学计算结果, 以  $\text{FeCl}_3 \cdot 6\text{H}_2\text{O}$ ,  $\text{Co}(\text{NO}_3)_2 \cdot 6\text{H}_2\text{O}$ ,  $\text{BaCl}_2 \cdot 2\text{H}_2\text{O}$ ,  $\text{CuCl} \cdot 2\text{H}_2\text{O}$ ,  $\text{ZnCl}_2$  为原料, 按分子式  $\text{Ba}_2\text{Co}_{0.6}\text{Zn}_{1.0}\text{Cu}_{0.4}\text{Fe}_{12}\text{O}_{22}$  配制成  $c_{\text{Me}_t}$  为  $0.5 \text{ mol} \cdot \text{L}^{-1}$  的盐溶液, 以  $\text{NaOH}$  和  $\text{Na}_2\text{CO}_3$  为原料, 配制  $c_{\text{CO}_3^{2-}} = 1 \text{ mol} \cdot \text{L}^{-1}$  的沉淀剂, 其中  $c_{\text{CO}_3^{2-}}/c_{\text{OH}^-}$  为 2:1。将盐溶液和沉淀剂以并加的加料方式通入反应器, 盐溶液的加料速度为  $2 \text{ mL} \cdot \text{min}^{-1}$ , 控制  $\text{pH}=10.0$ , 温度为  $50^\circ\text{C}$ 。反应 4 h 后制得前驱体粉料。

图 6(a,b) 分别是前驱体和前驱体在  $1000^\circ\text{C}$  下煅烧后粉料的 XRD 图。根据热力学计算结果, 前驱物中应存在  $\text{BaCO}_3$ 、 $\text{CuCO}_3$ 、 $\text{ZnCO}_3$ 、 $\text{Fe(OH)}_3$ 、 $\text{Co(OH)}_3$ 、 $\text{Zn(OH)}_2$ 、 $\text{CoCO}_3$ 。由图 6(a) 对比标准 PDF 卡可知, 前驱物中的主要物质为:  $\text{BaCO}_3$ 、 $\text{CuCO}_3$ 、 $\text{ZnCO}_3$ 、 $\text{Fe(OH)}_3$ 、 $\text{Co(OH)}_3$ 、 $\text{Zn(OH)}_2$ , 这与理论计算结果相符。图 6(b) 为前驱体在  $1000^\circ\text{C}$  煅烧后的 XRD 图谱, 由图可知,

前驱体经高温煅烧后发生固相反应, 形成纯相 Y 型平面六角结构铁氧体。

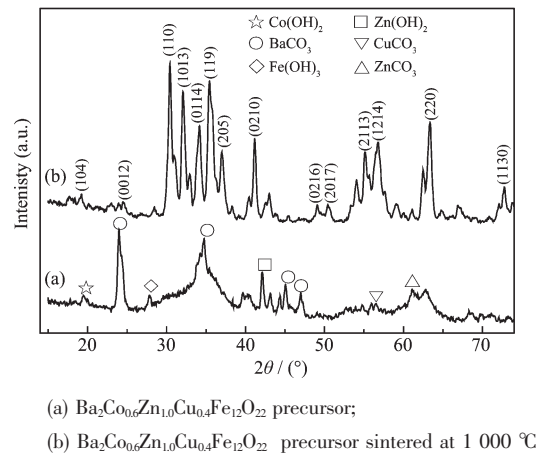


图 6 2 种样品的 XRD 图

Fig.6 X-ray diffraction patterns of  $\text{Ba}_2\text{Co}_{0.6}\text{Zn}_{1.0}\text{Cu}_{0.4}\text{Fe}_{12}\text{O}_{22}$  samples

图 7 是前驱体在  $1000^\circ\text{C}$  下煅烧后所得微粉的 SEM 照片, 在上述计算条件下制备的  $\text{Co}_2\text{Y}$  铁氧体颗粒细小, 粒度分布均匀, 平均粒径约为  $2 \mu\text{m}$ , 煅烧后粉体有明显团聚现象。因为在煅烧温度下发生固相反应, 颗粒长大, 易团聚; 此外粉料具有一定的磁性, 造成颗粒相互吸引聚集。

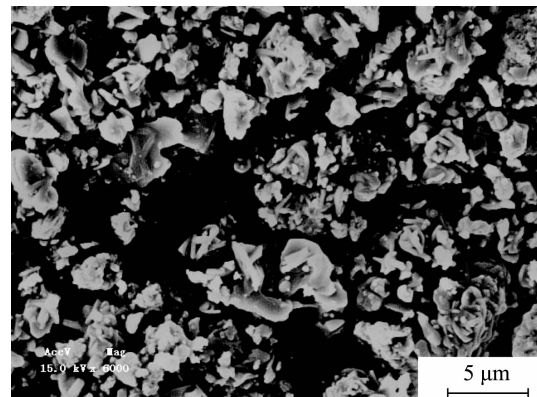


图 7  $\text{Ba}_2\text{Co}_{0.6}\text{Zn}_{1.0}\text{Cu}_{0.4}\text{Fe}_{12}\text{O}_{22}$  样品的 SEM 谱

Fig.7 SEM photos of  $\text{Ba}_2\text{Co}_{0.6}\text{Zn}_{1.0}\text{Cu}_{0.4}\text{Fe}_{12}\text{O}_{22}$  samples

### 4 结 论

(1) 在  $\text{NH}_4\text{HCO}_3 \cdot \text{NH}_3 \cdot \text{H}_2\text{O}$  体系中,  $\text{Co}^{2+}$ 、 $\text{Zn}^{2+}$  和  $\text{Cu}^{2+}$  与氨发生强烈的配位, 形成氨配位离子, 导致溶液中金属离子浓度增大, 5 种金属离子完全共沉淀的 pH 值范围取决于  $\text{Cu}^{2+}$  沉淀完全的 pH 值。

(2) 在  $\text{NaOH}-\text{Na}_2\text{CO}_3$  体系中, 5 种金属离子共沉淀区域由  $c_c$  决定, 当  $c_c = 1.0 \text{ mol} \cdot \text{L}^{-1}$  时, 金属离子的

完全共沉淀的 pH 值为 7.5~11。

(3) 在热力学分析结果的指导下, 以 NaOH-Na<sub>2</sub>CO<sub>3</sub> 为沉淀剂, 采用化学共沉淀法合成出了颗粒细小、粒度分布均匀的 Y 型纯相结构的平面六角铁氧体粉料。

### 参考文献:

- [1] Bai Y, Zhou J, Gui Z L, et al. *J. Magn. Magn. Mater.*, **2002**, **246**:140~144
- [2] Bai Y, Zhou J, Gui Z L, et al. *J. Magn. Magn. Mater.*, **2003**, **264**:44~49
- [3] Lee S G, Kwon S J. *J. Magn. Magn. Mater.*, **1996**, **153**:279~284
- [4] Albanese G. *IEEE. Trans. Magn.*, **1978**, **14**(5):710~712
- [5] Wang X H, Li L T, Su S Y, et al. *J. Magn. Magn. Mater.*, **1996**, **153**:279~284
- [6] Zhang H G, Li L T, Zhou J, et al. *J. Am. Ceram. Soc.*, **2001**, **84**(12):2889~2892
- [7] Fujimoto. *J. Am. Ceram. Soc.*, **1994**, **77**:2827~2830
- [8] LUO Ling-Hong(罗凌虹), ZHOU He-Ping(周和平), HUANG He-Ji(黄河激), et al. *J. Inorg. Mater.(Wuji Cailiao Xuebao)*, **2001**, **16**(6):1032~1038
- [9] Sung H M, Chen C J, Wang L J, et al. *IEEE. Trans. Magn.*, **1998**, **34**(4):1363~1365
- [10] BAI Yang(白洋), ZHOU Ji(周济), GUI Zhi-Lun(桂治轮), et al. *J. Funct. Mater.(Gongneng Cailiao)*, **2002**, **33**(5):487~489
- [11] Hsiang H I, Yao R Q. *Mater. Chem. Phys.*, **2007**, **104**:1~4
- [12] Pramanik N C, Fujii T, Nakanishi M, et al. *Mater. Lett.*, **2006**, **(60)**:2718~2722
- [13] Zhang H J, Jia X L, Yao X, et al. *J. Rare Earth*, **2004**, **22**(3):338~343
- [14] PENG Zhong-Dong(彭忠东), YANG Jian-Hong(杨建红), ZOU Zhong(邹忠), et al. *J. Inorg. Mater.(Wuji Cailiao Xuebao)*, **1999**, **14**(5):733~738
- [15] SU Ji-Tao(苏继桃), SU Yu-Chang(苏玉长), LAI Zhi-Gang(赖智广), et al. *J. Chin. Ceram. Soc.(Guisuanyan Xuebao)*, **2006**, **34**(6):695~698
- [16] ZHOU Xiao-Bing(周小兵), DAI Jian-Qing(代建清), CAI Jin-Hong(蔡进红). *J. Chin. Ceram. Soc. (Guisuanyan Xuebao)*, **2009**, **37**(1):23~28
- [17] YAO Yun-Bin(姚允斌), XIE Tao(解涛). *Handbook of Phy. Chem.(物理化学手册)*. Shanghai: Shanghai Science and Technology Press, **1985**.777~782,812~818
- [18] CAI Jin-Hong(蔡进红), DAI Jian-Qing(代建清), ZHOU Xiao-Bing(周小兵). *Chinese J. Inorg. Chem.(Wuji Huaxue Xuebao)*, **2008**, **24**(12):1943~1948